

GEOLOGISCHE KARTE DER REPUBLIK ÖSTERREICH 1:50.000

Herausgegeben von der Geologischen Bundesanstalt, Wien 1977

201-210 VILLACH-ASSLING

Bearbeitet von N. Anderle

5713/5601

- Quartär**
 - Fluvialer Schotter und Sand
 - Schwemkegel
 - Rezente Schuttablagerung
 - Lehmbedeckung
 - Tonbedeckung
 - Schotterterrasse
 - Moor (Torfablagerung, Anmoor)
 - Schuttalide
 - Talschutt (vorwiegend Kalkgerölle)
 - Bergsturzmasse
 - Bergsturzmaterial und Hangschutt
 - Absturzmaterial des Sattitzkonglomerates
 - Schotterfächer (?Würm oder Nach-Würm)
 - Moräne (Würm und Rückzugsstufen)
 - Alte Seeablagerungen (vorwiegend Sand und Ton an Seeufern)
 - Schotterterrasse (Würm und Nach-Würm)
 - Glaziales Zerfallgebiet (Schotterfeld mit Zerfallslöchern und Wannen)
 - Moräne mit Lehmbodenbedeckung
 - Gleitschutt (Moränenmaterial mit Hangschutt gemischt)
 - Bändertone (Würm)
 - Schotter und Nagelfluh (Liegendschotter, Vor-Würm)
 - Moräne (Liegendmoräne, Rib)
 - Virza-Nagelfluh, Faskersekonglomerat, Konglomerat von St. Jakob (Vor-Rib Interglazial)
 - Augsdorfer Nagelfluh (Vor-Rib Interglazial)
- Tertiär**
 - Sattitzkonglomerat (Pliozän)
 - Roter Ton von Petaschnitzen (Basisten des Sattitzkonglomerates, Pliozän)
 - Rosenbacher Kohlschichten (Mischschotter und Ton mit Kohlschmitteneinlagerungen, Miozän)
 - Rosenbacher Kohlschichten (Konglomerat, Miozän)
- Mesozoikum**
 - Zentralalpines Mesozoikum im Raume Rosegg - St. Jakob**
 - Dolomit bis Dolomitmarmor (?Trias)
 - Kalkmarmor im tektonischen Verband mit kristallinen Gesteinen (?Trias)
 - Zentralalpiner Kalk von Rosegg, St. Martin und westlich St. Jakob (?Trias)
 - Quarzit von St. Martin bei Rosegg (Skyth)
 - Nordalpine Trias des Taborzuges und des St.-Kathreiner-Kogels**
 - Wettersteinkalk des Taborzuges (Ladin)
 - Diplorendolomit des St.-Kathreiner-Kogels (Anis, Ladin)
 - Heller Dolomit Typus Wettersteindolomit (Anis, ?Ladin)
 - Gutensteinkalk an der Basis des Taborzuges (Anis)
 - Rauhacke, Brekzie (tiefstes Anis)
 - Südalpine Trias der Westkarawanken (Koschuta-Einheit)**
 - Hauptdolomit und Dachsteinkalk des Gr. Mittagkogels (Nor)
 - Hornstein-Plattenkalk (Karn)
 - Wengener Schiefer (Ober-Ladin, Cordevol)
 - Schlerndolomit (Ladin)
 - Muschelkalk (Anis)
 - Porphyrtuff (Basis der Buchensteinschichten, Anis)
 - Campiler Schichten (Ober-Skyth)
 - Seiser Schichten (Unter-Skyth)



- Paläozoikum**
 - Perm**
 - Bellerophonschichten (Ober-Perm)
 - Grödener Sandstein (Ober-Perm)
 - Trogkofelkalk (Unter-Perm)
 - Karbon**
 - Tonschiefer von Techanting (?Karbon)
 - Diabas von Techanting (?Karbon)
 - Dunkelgrauer Schiefer
 - Grauer Sandstein und Konglomerat
 - Tonschiefer
 - Devon**
 - Bänderkalk (Devon)
 - Riffkalk (Mittel-Devon)
 - Roter und grauer Flaserkalk (Unter-Devon)
 - Silur**
 - Orthocerenkalk (Ludlow)
 - Grauer Kalkschiefer (?Silur)
 - Ordovizium**
 - Dunkelgrauer Kalkschiefer
 - Seritzschiefer des Paläozoikums der Karnischen Alpen (?Ordovizium)
- Magmatische und metamorphe Gesteine**
 - Eruptiva der Westkarawanken**
 - Tonalt von Finkenstein
 - Malchit des Mallestiger Mittagkogels
 - Gaialter Kristallin**
 - Quarzphyllit
 - Schieferhornfels
 - Mittelostalpinen Kristallin**
 - Altkristallin im Raume Rosegg - St. Jakob - St. Egyden**
 - Phyllit
 - Phyllitischer Glimmerschiefer bei St. Egyden
 - Biotitführender Quarzphyllit
 - Chlorit-Quarzphyllit
 - Altkristallin im Raume Oswaldberg-Gerlitz-Ossiacher Tauern**
 - Bänderkalk bis Marmor
 - Dolomitmarmor
 - Kalkphyllit
 - Phyllit der Gurtalpe
 - Quarzphyllit bis plattiger Quarzit
 - Quarzitische Phyllit mit Phyllonit
 - Graphitischer Phyllit
 - Graphitischer Kohlenstoffquarzit
 - Graphitphyllitquarzit mit rostig verwitternden Phylliten alternierend
 - Grünschiefer, Metadiabas
 - Feldspatschiefer (Porphyrschiefer)
 - Amphibolit, Granatamphibolit
 - Amphibolit vom Tiffner Winkel
 - Hornblendeporphyr von Kraß
 - Glimmerquarzit
 - Quarzitische Glimmerschiefer
 - Granatglimmerschiefer, Glimmerschiefer
 - Zweiglimmerschiefer (gneis), Quarz-glimmerschiefer (Granat, Oligoklas, Bytownit)
 - Zweiglimmer-Paragneis bis Zweiglimmerschiefer, Gneisquarzit (Albit bis Oligoklas, ± Granat)
 - a) Mikrokin - Augengranitgneis
 - b) Heiligimmeriger ± mikrokinführender Bändergneis (Plagioklas = i.w. Albit)
 - Albitgneis
 - Gn
 - Mikrokin-Muskovit-Granitgneis von Seebach
 - Pegmatit
 - Orthogneis

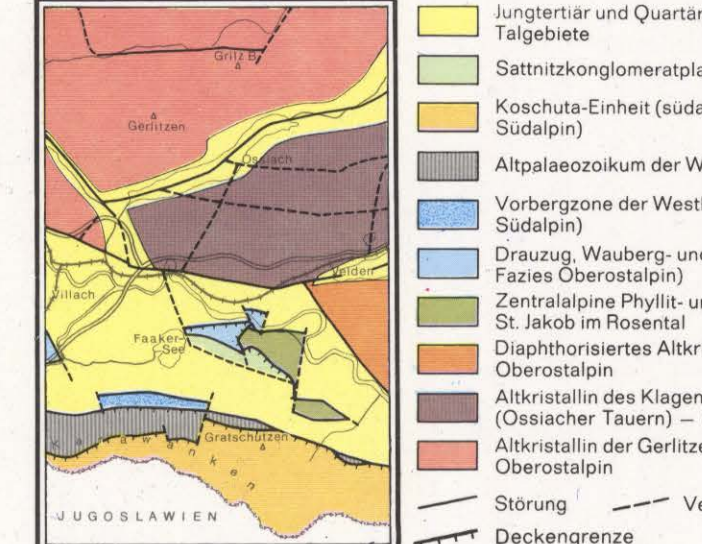
Erhältlich im Verlag der Geologischen Bundesanstalt, A-1030 Wien, Rasumofskyg 23 und im Buchhandel.
Geologie: Geologische Bundesanstalt
Topographie: Bundesamt für Eich- und Vermessungswesen

1:50.000 (1 cm = 500 m)
Gaul-Krüger-Projektion (3° Streifen), geographische Länge von Ferro = geographische Länge von Greenwich + 17° 40' 00"
Höhen bezogen auf das Mittelwasser der Adria bei Triest, Äquidistanz der Schichtlinien: 20 m
Gaul-Krüger-Koordinatensystem M.31
y-Werte im CMK-System (y-km/Wert im CMK-System = y-km/Wert der österr. Landeskoordinaten + 750)
Verwendung des CMK-Systems, genehmigt vom Bundesministerium f. Landesverteidigung gem. Z. 308.209-FU/74

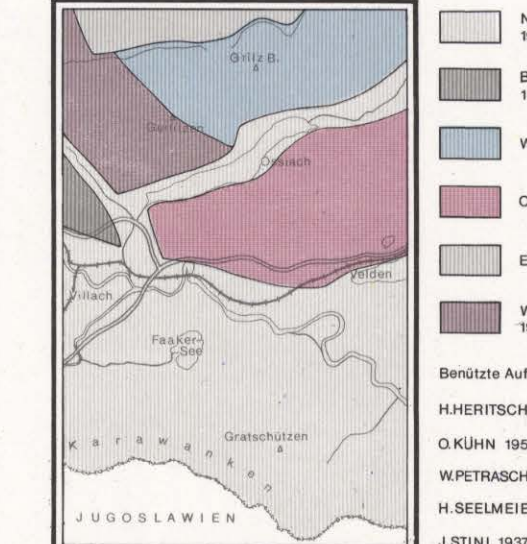
Direktor der Geologischen Bundesanstalt: F. RONNER
Leiter der geologischen Landesaufnahme: Vizelektor T. E. GÄTTINGER
Redakteur der Geol. CK 60: A. MATURA
Graphische Gestaltung: O. BINDER
Reprotechnische Arbeiten: Geologische Bundesanstalt
Druck: Bundesamt für Eich- und Vermessungswesen (Landesaufnahme) in Wien.



Übersichtsskizze der geologischen Einheiten



Verteilung der Aufnahmegebiete



DIVERSE ZEICHEN

- Steinbruch
- Sand-, Schottergrube
- Bergbau, in Betrieb
- Bergbau, stillgelegt

TEKTONIK UND GEFÜGE

- Regionale Störungslinie
- LOKALE STÖRUNGSLINIE
- sichtbar
- vermutet
- Decken-, Schuppengrenze

STREICHEN UND FALLEN

- der s-Flächen
- der B-Achsen
- horizontal +
- 0° - 5°
- 10° - 29°
- 6° - 23°
- 30° - 59°
- über 23°
- 60° - 80°
- steiler